

شناسایی الگوهای ریزش بارش‌های سنگین در استان چهارمحال و بختیاری

کمال امیدوار^۱، مسلم ترکی^{۲*}

۱- دانشیار اقلیم‌شناسی، دانشگاه یزد، یزد، ایران

۲- دانشجوی کارشناسی ارشد اقلیم‌شناسی، دانشگاه یزد، یزد، ایران

دریافت: ۹۰/۱۰/۱۳ پذیرش: ۹۱/۹/۱۸

چکیده

وقوع بارش‌های سنگین با الگوهای همدید سطوح فوقانی جو در ارتباط است. این مطالعه ارتباط بین بارش‌های سنگین در استان چهارمحال و بختیاری و آرایش الگوهای فوقانی جو را بررسی می‌کند. برای شناسایی الگوهای ریزش بارش‌های سنگین ده مورد از بارش‌های شدید (بیشتر از ۵۰ میلی‌متر) و فراغیر اتفاق‌افتداد در طول دوره آماری انتخاب و بررسی شده است. برای این منظور، از آمار بارش ایستگاه‌های تحت مطالعه و همچنین نقشه‌های سطح زمین، سطح ۵۰۰ هکتوباسکال، نقشه‌های وزش رطوبتی، امگا و تاوایی استفاده شده است. برای تعیین ناپایداری‌ها، شاخص‌های ناپایداری شولتر و *ki* در ایستگاه‌های اصفهان و اهواز مورد بررسی قرار گرفته است. نتایج نشان می‌دهد الگوی غالب ریزش بارش‌های سنگین در استان توقف چندروزه سیستم‌های باران‌زاست. دلیل این توقف نیز تشکیل سیستم مانع در تراز ۵۰۰ هکتوباسکال بر روی اروپاست که سبب می‌شود در شرق این سیستم مانع سردچال عمیقی تشکیل شود و با ریزش هوای سرد از عرض‌های بالاتر موجب فرارفت هوای گرم و مرطوب عرض‌های پایین می‌شود. ترکیب کم‌فشار سودانی با کم‌فشار مدیترانه‌ای باعث تقویت کم‌فشار سودانی می‌شود و با دریافت رطوبت از دریای سرخ، دریای عرب و خلیج فارس، بارش‌های سنگین در منطقه رخ می‌دهد. در ایستگاه‌های واقع در دامنه‌های زرده‌کوه، حرکت توده‌های هوای ریزش بارش‌های سنگین در این مناطق می‌شود؛ به طوری که ایستگاه کوه‌رنگ در دوره بارشی مارس ۱۹۸۸ به میزان ۵۳۵/۵ میلی‌متر بارش داشته است.

واژه‌های کلیدی: بارش سنگین، چهارمحال و بختیاری، سیستم مانع، همدید.



۱- مقدمه

بررسی بارش به عنوان یک عنصر بسیار مهم آب و هوایی و رکن اصلی در مطالعات بیلان آب، اساس برنامه‌ریزی‌های هر کشوری را تشکیل می‌دهد (بابایی و فرج‌زاده، ۱۳۸۲). بارش‌های سالیانه اندک با نوسان‌های شدید و رگباری و کوتاه‌مدت از ویژگی‌های آب و هوایی و همچین رژیم بارش‌ها در ایران است (علیجانی، ۱۳۸۱: ۵۵). درواقع، تغییرات بارش ناشی از تغییرات عوامل تولیدکننده آن است. بی‌نظمی موجود در عوامل ایجاد بارش به توزیع مکانی و زمانی بارش منجر می‌شود. عوامل ایجاد بارش شامل عامل صعود، هوای مرطوب و هستک‌های چگالش است که توسط گردش عمومی جو فراهم می‌شوند. الگوهای فشار مانند چرخندهای برونداره، موج‌های کوتاه، هسته‌های روبداد، همرفت و صعود اجباری مهم‌ترین عوامل صعود هستند و الگوهای فشار، شار رطوبت را تعیین می‌کنند. بنابراین، با توجه به اهمیت شناخت دقیق پراکندگی مکانی بارش و پی‌بردن به علت‌های آن برای پیش‌بینی در برنامه‌ریزی‌های توسعه و عمران، انجام مطالعات بنیادی ضروری می‌نماید.

در سال‌های اخیر، مطالعات آب و هواشناسی همدید در ایران مورد توجه خاصی قرار گرفته است. آب و هواشناسی همدید جنبه‌ای از آب و هواشناسی است که آب و هواهای محلی و یا ناحیه‌ای را بر حسب خصوصیات و حرکات جوی با درنظر گرفتن فواصل زمانی معین توصیف می‌کند. برای شناخت بهتر تغییرات زمانی و مکانی بارش روش‌های مختلفی هست که مطالعات همدید بهترین روش در این زمینه است (Jakops, 1974). اهمیت بارش‌های شدید و گاهی سیل‌آسا برای کشوری مانند ایران با ویژگی‌های آب و هوایی خاص خود آشکار است. این بارش‌ها در مناطق مختلف جغرافیایی از نظر مالی و جانی، آثار زیان‌بار بسیاری داشته و انسان و طبیعت را در سطح وسیعی متأثر کرده است. هر ساله چندین هزار نفر بر اثر جاری شدن سیل جان خود را از دست می‌دهند، پلهای ارتباطی ویران می‌شود و هزاران مترمکعب آب شیرین وارد آبهای شور می‌شود و نیز میلیون‌ها تن خاک بر اثر وقوع سیلاب فرسایش می‌یابد و وارد دریاها و دریاچه‌ها و یا مخازن سدها می‌شود. پیش‌بینی شدت این

گونه بارش‌ها برای پیش‌یابی جریان‌های سیلابی رودخانه‌ها بهویژه در زمان بررسی حوضه‌های آبریز بسیار مهم است.

درباره تأثیر گردش‌های جوی بر وقوع بارش در مناطق مختلف جهان مطالعات زیادی انجام شده است. کانکل^۱ و همکاران (۱۹۹۹) با بررسی شدت بارش در یک دوره کوتاه هفت‌روزه طی دوره آماری ۱۸۹۶-۱۹۹۸ م در نواحی مجاور ایالات متحده و کانادا نشان دادند در دهه ۱۹۳۰ و ۱۹۵۰ م میزان بارش به پایین‌تر از متوسط میانگین و در دهه ۱۹۴۰ به بالاتر از میانگین رسیده است. کیبلس^۲ (۱۹۸۹) با استفاده از نقشه‌های تراز ۷۰۰ هکتوباسکال، توزیع حداقل بارش را طی ماه‌های زوئن و سپتامبر در منطقه بی‌موdal بررسی کرده است. روبرت^۳ و همکاران (۱۹۹۸) با بررسی رابطه شرایط جو بالا با رخداد بارش‌های سنگین تابستانی در ایالت یوتا نشان دادند انتقال رطوبت از اقیانوس اطلس در ایجاد این بارش اهمیت زیادی دارد. مادوکس^۴ (۱۹۷۸) با مقایسه بین سیل‌های سنگین بیگ تامپسون و راپیدسیتی از نظر همدید به این نتیجه رسید که عامل ایجاد این سیل‌ها بادهای سطح پایین است که رطوبت فراوانی را به این دو منطقه منتقل کرده و عامل ناهمواری باعث صعود رطوبت و ایجاد بارش‌های سنگین شده است. روبرت و همکاران (۱۹۸۰) با بررسی همدید خصوصیات سیل‌های سنگین غرب ایالات متحده آمریکا نشان دادند از تعداد ۶۱ سیل مورد بررسی، ۴۱ سیل به علت وضعیت حرکت کند امواج کوتاه‌تر از ۵۰۰ هکتوباسکال رخ داده است. آن‌ها چهار الگو برای ایجاد این سیل‌ها مشخص کرده‌اند. دلدن^۵ (۲۰۰۱) با توجه به الگوهای همدید، وضعیت توفان‌های تندری را در غرب اروپا بررسی کرده است. هومار^۶ و همکاران (۲۰۰۱) الگوهای همدید و متوسط رخداد ترنداد را در جزایر باله آریک شناسایی کرده‌اند. وانگ^۷ و همکاران (۲۰۰۹) تغییرهای سیکلون‌های بروون‌حاره را در آسیای شمال‌شرقی با استفاده از الگوهای سینوپتیک بررسی کرده‌اند.

1. Kankel

2. Keables

3. Robert

4. Maddox

5. Delden

6. Homar

7. Wang

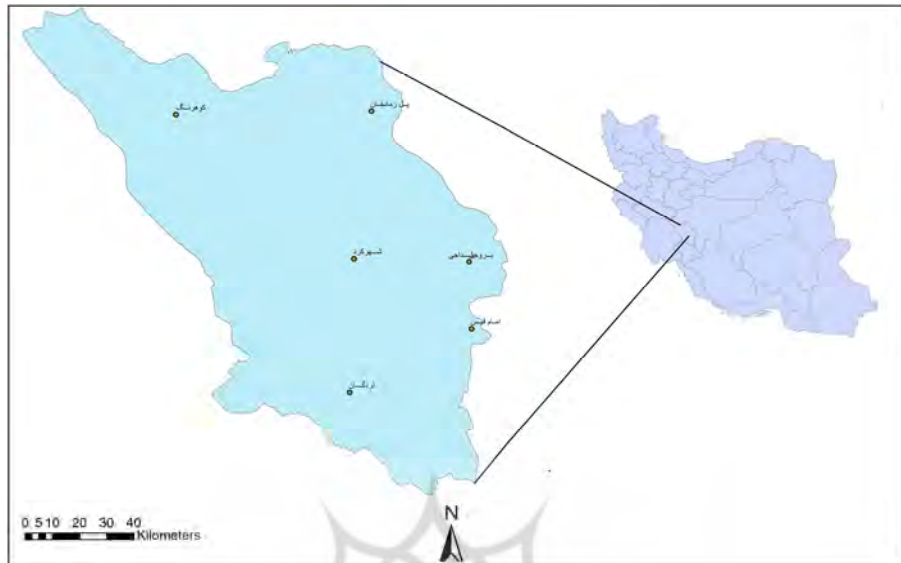


لشکری (۱۳۷۵) گفته است که بارش‌های سنگین و سیل آسا در جنوب غرب ایران نتیجه تقویت و تشدید فعالیت مرکز کم‌فشار مونسونی سودان و منطقه همگرایی دریای سرخ و تبدیل آن‌ها به سامانه دینامیکی و ترمودینامیکی است. مفیدی و زرین (۱۳۸۴) با بررسی الگوهای گردش ترازهای سطوح فوقانی و سطح زمین، الگوهای همدید ۱۸ توفان با منشاء سودانی را بررسی کرده‌اند. حبیبی (۱۳۸۵) نقش سامانه‌های بندالی در چرخندزایی روی دریای مدیترانه و اثر آن‌ها را در سیل سال ۲۰۰۰ در غرب ایران مطالعه کرده است. علیجانی و زاهدی (۱۳۸۱) گفته‌اند که تیپ هوایی رایج ایجاد باران در منطقه آذربایجان، تیپ مداری است؛ به‌طوری که طی آن سرزمین‌های اطراف دریای خزر را هوای سرد و ایران را هوای گرم فرامی‌گیرد. شب تغییرات فشار و تغییرات دما بین شمال و جنوب زیاد است. در چنین مواردی وجود یک ناوه در تراز ۵۰۰ هکتوپاسکال کافی است که هوای مرطوب و ناپایدار سطح زمین صعود، و ایجاد بارش کند. همچنین، از یازده تیپ هوای باران‌زا سه تیپ پرفشار هستند. این پرفشارها تبریز را کاملاً فرانگرفته‌اند و تبریز در حاشیه آن‌ها قرار می‌گیرد. نقش پرفشارها اغلب ریزش هوای سرد به آذربایجان و تشدید شب حرارتی منطقه است. نصیری (۱۳۸۷) در بررسی خود به این نتیجه رسیده است که سامانه‌های باران‌زا که بر دو حوضه کرخه و دز اثر می‌گذارند، از دو گونهٔ مجزا و تفکیک‌شدهٔ مدیترانه‌ای و سودانی تشکیل شده‌اند. بیشترین سامانه‌هایی که در حوضه کرخه ایجاد بارش می‌کنند، از نوع مدیترانه‌ای و بیشترین سامانه‌های مؤثر بر حوضه دز از نوع سودانی است. سامانه‌های مؤثر بر حوضه کرخه به‌تنهایی توانایی ایجاد سیل را ندارند؛ درنتیجه ذوب برف عامل مهم سیلاب در این حوضه است. امیدوار (۱۳۸۷) با بررسی سیلاب‌ها براساس موقعیت سامانه‌های همدید در استان یزد به این نتایج رسید که توقف چندروزه سامانه‌های باران‌زا می‌تواند باعث ایجاد سیلاب شود؛ همچنین سیستم کم‌فشار سودانی که از جنوب غرب وارد ایران می‌شود اگر بتواند از آبهای جنوب کشور رطوبت و گرما بگیرد؛ در صورت رسیدن به شرایط بارش، باعث ایجاد سیل می‌شود.

وقوع بارش‌های سنگین و سیل‌آسا در استان چهارمحال و بختیاری به‌علت کوهستانی بودن آن، خسارت‌های زیادی به‌همراه داشته است؛ بهویژه با ساخت سدهای بزرگ در نواحی کوهستانی این استان نیاز به آگاهی از وقوع بارش‌های سنگین و سیل‌آسا بیشتر احساس می‌شود. هدف این تحقیق، شناسایی الگوهای جوئی ایجاد بارش‌های سنگین در استان چهارمحال و بختیاری و همچنین تعیین منابع رطوبتی این بارش‌هاست.

۲ - مشخصات منطقه

استان چهارمحال و بختیاری با مساحت ۱۶/۵۳۳ کیلومتر مربع یک درصد از مساحت کشور را شامل می‌شود و ناحیه‌ای است مرتفع که در گستره فلات مرکزی ایران و در امتداد رشته‌کوه‌های زاگرس واقع شده است. از نظر موقعیت جغرافیایی، در حد فاصل $31^{\circ}-9'$ درجه تا $48^{\circ}-32'$ درجه عرض شمالی و $51^{\circ}-26^{\circ}$ تا $49^{\circ}-30'$ درجه طول شرقی قرار گرفته است (شکل ۱). نزدیک به ۸۰ درصد استان چهارمحال و بختیاری را کوه‌ها و تپه‌ها دربردارند. این کوه‌ها دارای ۱۶ قله با ارتفاع بیش از ۳۵۰۰ متر هستند. مرتفع‌ترین آن زردکوه با ارتفاع ۴۵۴۸ متر در شمال‌غرب است و پست‌ترین منطقه استان با ارتفاع ۸۰۰ متر در منطقه خروجی رودخانه کارون در محل پیوستن رودخانه خرسان به کارون قرار دارد. میزان بارش در این منطقه به اندازه‌ای است که ده درصد از آب کشور را تأمین و مناطق مرکزی ایران و دشت خوزستان را سیراب می‌کند؛ به گونه‌ای که سالیانه $7/4$ میلیارد متر مکعب آب از استان خارج و در سدهای شهید عباسپور، دز و زاینده‌رود ذخیره می‌شود.



شکل ۱ موقعیت ایستگاههای مورد مطالعه

۳- مواد و روش

مطالعاتی که درباره بارش‌های سنگین ایران و جهان انجام شده، تعریف‌های مختلفی را برای بارش‌های سنگین در مناطق مختلف بیان کرده‌اند؛ بنابراین تعریف جامعی از بارش‌های سنگین که بتوان برای مناطق مختلف به کار برد، وجود ندارد. تعریف بارش‌های سنگین بر حسب موقعیت جغرافیایی هر منطقه متفاوت است. در این پژوهش ده مورد از بارش‌هایی که بیشترین مقدار بارش (بیشتر از ۵۰ میلی‌متر) را در دوره آماری (۱۹۸۶-۲۰۱۰) داشته‌اند انتخاب شد (جدول ۱). سپس برای شناسایی الگوهای ریزشی دوره‌های مورد مطالعه، داده‌های جوی آن از سایت مرکز مطالعات جوی آمریکا^۱ دریافت شد و نقشه‌های همدید روزهای بارشی در ساعت صفر گرینویچ در سطح زمین و تراز ۵۰۰ هکتوپاسکال و همچنین نقشه‌های رودباد و وزش رطبوبتی و نقشه‌های تواویبی و امگا به وسیله نرم‌افزار گردس ترسیم و تحلیل شد. برای بررسی ناپایداری هوا و محاسبه شاخص‌های ناپایداری شولتر و ki^* وضعیت توده‌های هوا از

1. NCEP-NCAR
2. Kindex

داده‌های جو بالای ایستگاه اصفهان و اهواز در زمان‌هایی که اطلاعات آن موجود بود استفاده شد. گفتنی است که اساس شاخص شولتر بر رابطه بین دمای خشک و نقطه شبنم در تراز ۸۵۰ هکتوپاسکال و دمای خشک تراز ۵۰۰ هکتوپاسکال استوار است. اگر مقدار این شاخص بین سه تا یک باشد، احتمال ناپایداری وجود دارد؛ اگر بین ۱ تا ۳ باشد، احتمال ناپایداری بیشتر می‌شود؛ اگر کمتر از ۳ باشد، شدت ناپایداری افزایش می‌یابد. شاخص ناپایداری k_{ti} بر مبنای روش ویتنگ و براساس اطلاعات کاوشگر جو بالا محاسبه می‌شود. اگر مقدار عددی این شاخص کمتر از ۲۰ باشد، ناپایداری کم و اگر بیشتر از آن باشد، ناپایداری شدید اتفاق می‌افتد (امیدوار، ۱۳۸۸).

جامعه آماری پژوهش ایستگاه‌های همدید استان چهارمحال و بختیاری است. اطلاعات و آمار پایه درباره موضوع از اداره کل هوشنگی استان چهارمحال و بختیاری به دست آمد. در این مقاله به دلیل طولانی نشدن مطلب، فقط سه مورد از بارش‌ها در سال‌های چهارم دسامبر ۱۹۹۸، سوم دسامبر ۱۹۹۱ و نهم فوریه ۲۰۰۶ بررسی شده و نتایج بقیه سال‌ها نیز آورده شده است.

جدول ۱ مقادیر بارش در ایستگاه‌های سینوپتیک استان در دوره‌های انتخابی

سال	دوره بارشی	شهر کرد	کوهرنگ	لدگان	بروجن
۱۹۸۶	۲۸- دسامبر	۸۹/۱	—	—	—
۱۹۸۸	۱۹-۱ مارس	۸۵/۵	۵۳۵/۵	—	—
۱۹۸۹	۵-۱ دسامبر	۹۵/۸	۲۴۶/۱	—	۸۴/۹
۱۹۹۱	۱۵-۱ دسامبر	۱۸۲/۱	۴۶۲	—	۱۱۳/۱
۱۹۹۴	۱۷-۱۵ نوامبر	۵۸/۶	۱۱۲/۶	۶۲/۸	۴۰/۳
۱۹۹۷	۲۱-۸ دسامبر	۵۶/۹	۱۱۵/۹	۱۱۲/۳	۴۷/۹
۲۰۰۲	۱۱-۲ ژانویه	۹۶/۶	۲۰۲	۱۰۷/۶	۴۹/۵
۲۰۰۵	۱۶-۴ مارس	۹۰/۲	۴۵۲/۷	۶۶۷	۴۱/۹
۲۰۰۶	۱۶-۱ فوریه	۱۳۴/۲	۴۶۶/۲	۱۶۶/۹	۸۵/۳
۲۰۰۶	۱۴-۸ نوامبر	۷۹	۱۷۶/۷	۹۰/۵	۸۰/۸



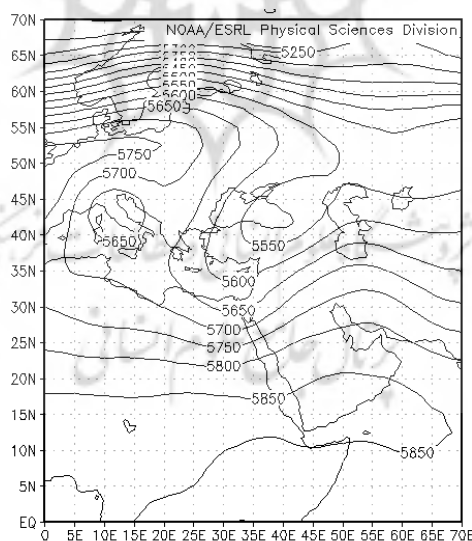
۴- نتایج و بحث

۴-۱- بررسی و تحلیل همدید بارش‌های استثنایی ۲۸ نوامبر تا ۲ دسامبر ۱۹۸۶

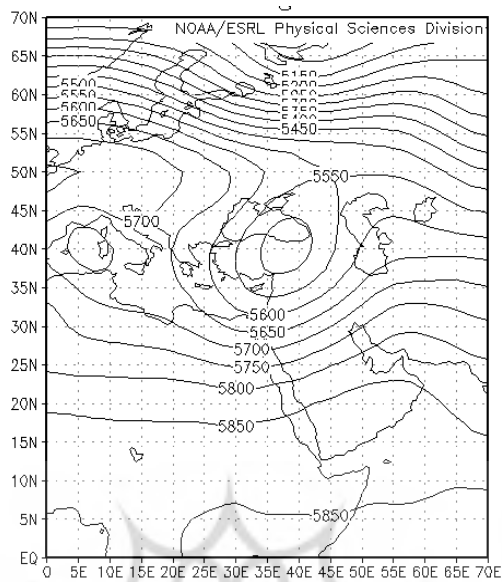
نقشهٔ تراز ۵۰۰ هکتوپاسکال (شکل ۲ و ۳) در این دوره نشان می‌دهد تشکیل یک سامانه مانع بر روی اروپا سبب شده است تا در شرق آن جریان‌ها نصف‌النهاری شوند و با تشکیل یک سردچال بر روی جنوب دریانه و حرکت آن به سمت شرق با ریزش هوای سرد از عرض‌های بالاتر و فرارفت هوای گرم و مرطوب عرض‌های پایین سبب ایجاد ناپایداری و ریزش بارش‌های سنگین طی دورهٔ بارشی شود. در روز ۲۸ نوامبر (شکل ۲) ناوهٔ ایجادشده در شرق سردچال تا شمال آفریقا گسترش یافته و منطقهٔ وزش افقی تاوایی مثبت^(۱) (PVA^۱) این ناوه بر روی دریای سرخ ایجاد شده است. در این روز (نک شکل ۴) در نقشهٔ سطح زمین کم‌فشار ۱۰۱۰ هکتوپاسکال بر روی سودان قرار گرفته و زبانهٔ ۱۰۱۵ هکتوپاسکال آن تا جنوب دریای مدیترانه کشیده شده است. نقشهٔ وزش رطوبتی این روز (نک شکل ۶) جریان رطوبت را از طریق خلیج عدن، دریای سرخ و خلیج فارس به طرف منطقه نشان می‌دهد؛ اما هنوز بر روی منطقهٔ هستهٔ صعود تشکیل نشده است. در اوایل روز بیست و نهم (نک شکل ۳) ناوه به سمت شرق حرکت کرده و قسمت جلو ناوه که روز قبل بر روی دریای سرخ قرار داشت تا مرزهای غربی ایران گسترش یافته است. در این روز در نقشهٔ سطح زمین (نک شکل ۵) کم‌فشار ۱۰۱۰ هکتوپاسکال به سمت شمال‌شرق حرکت کرده و خط هم‌فشار ۱۰۱۵ هکتوپاسکال تا غرب ایران بر روی عراق گسترش یافته است. در نقشهٔ وزش رطوبتی این روز (نک شکل ۷) یک حرکت واچرخندی از خلیج عدن به سمت دریای سرخ و سرانجام به سمت خلیج فارس و جنوب‌غرب ایران شکل گرفته است که سبب انتقال رطوبت به طرف منطقه می‌شود. دلیل این حرکت را می‌توان نفوذ تاوایی مثبت ناوه و قرار گرفتن سامانه کم‌فشار در سطح زمین دانست. در نقشهٔ امکاً روز بیست و نهم در نوار غربی یک هستهٔ صعود تشکیل شده است. مرکز این هستهٔ صعود عدد ۰/۱ را نشان می‌دهد (نک شکل ۸). تشکیل این هستهٔ صعود در ایجاد بارش‌ها در این روز نقش مهمی دارد. نقشهٔ تاوایی این روز (شکل ۹) هم وجود تاوایی مثبت (سیکلونی) را در نواحی غربی ایران نشان می‌دهد. در روز سی نوامبر نقشهٔ

1. positive vorticity advection

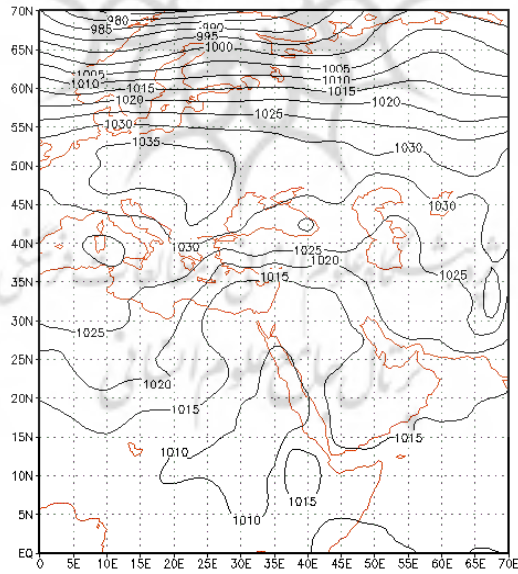
تراز ۵۰۰ هکتوپاسکال همچنان شرایط روز گذشته را دارد و در نقشه سطح زمین (شکل ۴) یک مرکز ۱۰۱۰ هکتوپاسکال بر روی شمال خلیج فارس تشکیل شده و خط هم‌فشار ۱۰۱۵ هکتوپاسکال تا جنوب دریای خزر گسترش یافته است. در نقشه وزش رطوبتی این روز همچنان حرکت واپرخندی رطوبت خلیج عدن، دریای سرخ و خلیج فارس را به منطقه انتقال می‌دهد؛ به گونه‌ای که در جنوب غرب ایران یک هسته رطوبتی مناسب (۱۰ گرم بر کیلوگرم) تشکیل شده است. در این روز، بر روی نقشه امگا سطح زمین یک مرکز صعود بسیار قوی-که مرکز آن عدد ۰۰۵ را نشان می‌دهد- از شمال خلیج فارس تا جنوب دریای خزر در سراسر نوار غربی و مرکز ایران تشکیل شده است. در نقشه توابع این روز در تمام نواحی ایران به جز جنوب شرق توابعی مثبت وجود دارد که مرکز آن عدد ۳ را نشان می‌دهد. در روز یکم و دوم دسامبر همچنان شرایط روز گذشته در منطقه حاکم است؛ اما در روز سوم دسامبر زبانه ۱۰۲۰ هکتوپاسکالی سامانه پرفشاری که بر روی اروپا قرار گرفته است، تا نواحی غربی و مرکزی ایران پیشروی می‌کند. در نقشه امگای سطح زمین نیز در نواحی غربی و جنوب غرب ایران یک هسته فرونژینی تشکیل شده است.



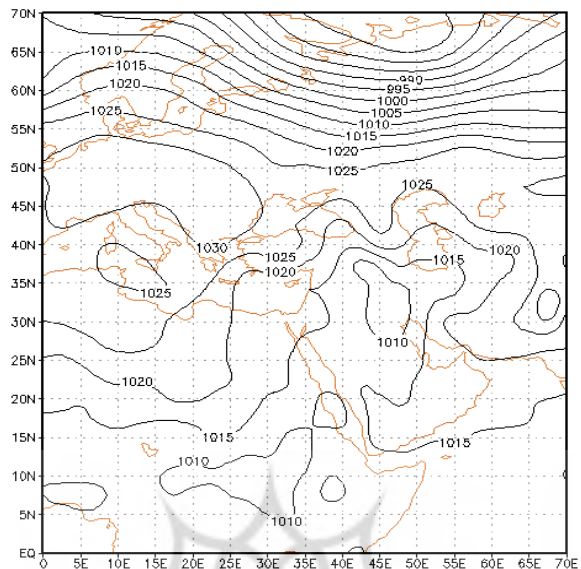
شکل ۲ نقشه سطح ۵۰۰ ساعت ۰۰UTC روز ۲۸ نوامبر ۱۹۸۶



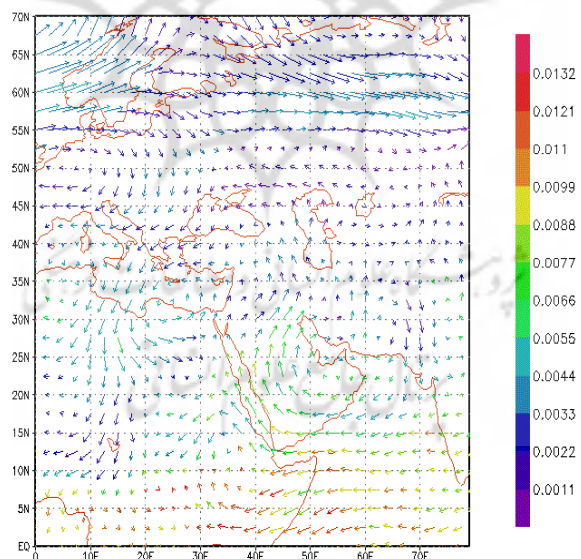
شكل ٣ نقشة سطح ٥٠٠ ساعت 00UTC روز ٢٩ نوامبر ١٩٨٦



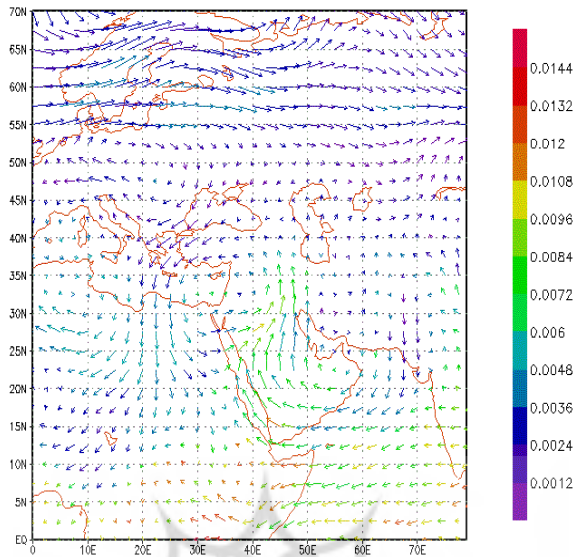
شكل ٤ نقشه سطح زمین ساعت 00UTC روز ٢٨ نوامبر ١٩٨٦



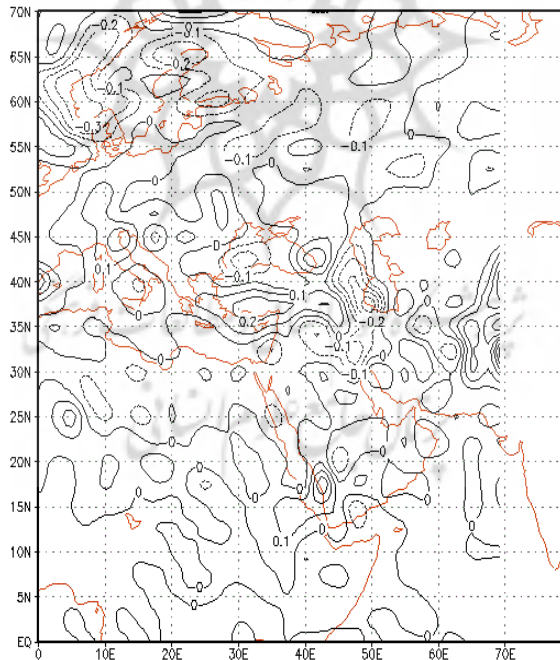
شكل ٥ نقشة سطح زمین ساعت ٠٠UTC روز ٢٩ نوامبر ١٩٨٦



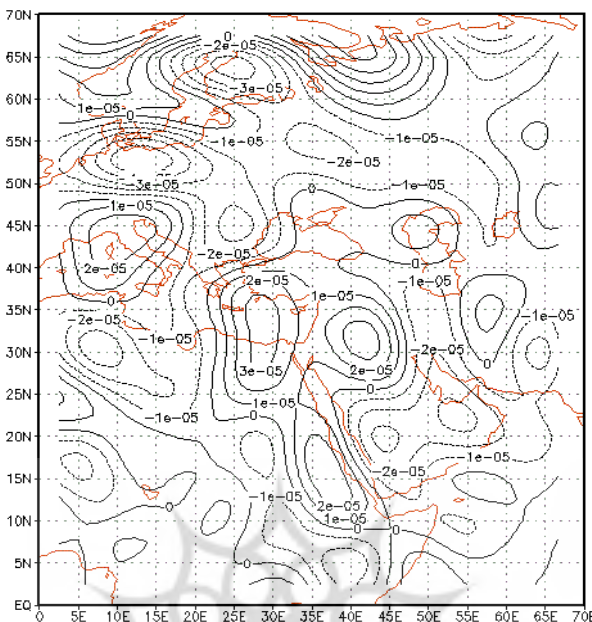
شكل ٦ نقشه وزش رطوبتی تراز ٨٥٠ روز ٢٨ نوامبر ١٩٨٦



شکل ۷ نقشه وزش رطوبتی تراز ۸۵۰ روز ۲۹ نوامبر ۱۹۸۶



شکل ۸ نقشه امگا سطح زمین روز ۲۹ نوامبر ۱۹۸۶



شکل ۹ نقشه چرخدگی سطح ۸۵۰ روز ۲۹ نوامبر ۱۹۸۶

۲-۴- بررسی و تحلیل همدید بارش‌های استثنایی ۱ تا ۱۵ دسامبر ۱۹۹۱

نقشه تراز ۵۰۰ هکتوپاسکالی روز یکم دسامبر در ساعت صفر (شکل ۱۰) تشکیل یک سامانه مانع کاملاً مشخص را روی اروپا نشان می‌دهد. این سامانه سبب شده تا جریان‌ها در بخش جنوبی آن به سمت جنوب انحدار پیدا کنند و در شرق آن نیز با تشکیل یک سردچال بر روی ترکیه امتداد ناوه تا جنوب دریای سرخ کشیده شده است و قسمت تواویی مثبت سردچال بر روی نواحی غربی ایران قرار دارد. نقشه سطح زمین این روز (شکل ۱۴) وجود پرفشار ۱۰۳۰ هکتوپاسکال را روی اروپا نشان می‌دهد. روی جنوب‌غرب دریای سرخ نیز کم‌فشار ۱۰۱۰ هکتوپاسکال درحال شکل‌گیری است و روی ایران پربند ۱۰۱۵ هکتوپاسکال بین پرفشار و کم‌فشار قرار دارد. روی شمال دریای خزر نیز کم‌فشار ۱۰۱۰ هکتوپاسکال تشکیل شده است. در روز دوم تا هفتم دسامبر در تراز ۵۰۰ هکتوپاسکال تغییرات زیادی مشاهده نمی‌شود؛ ولی در این مدت سامانه مانع اندکی به سمت غرب حرکت کرده و در شرق آن ناوه‌های متناوبی ایجاد شده و به سمت ایران



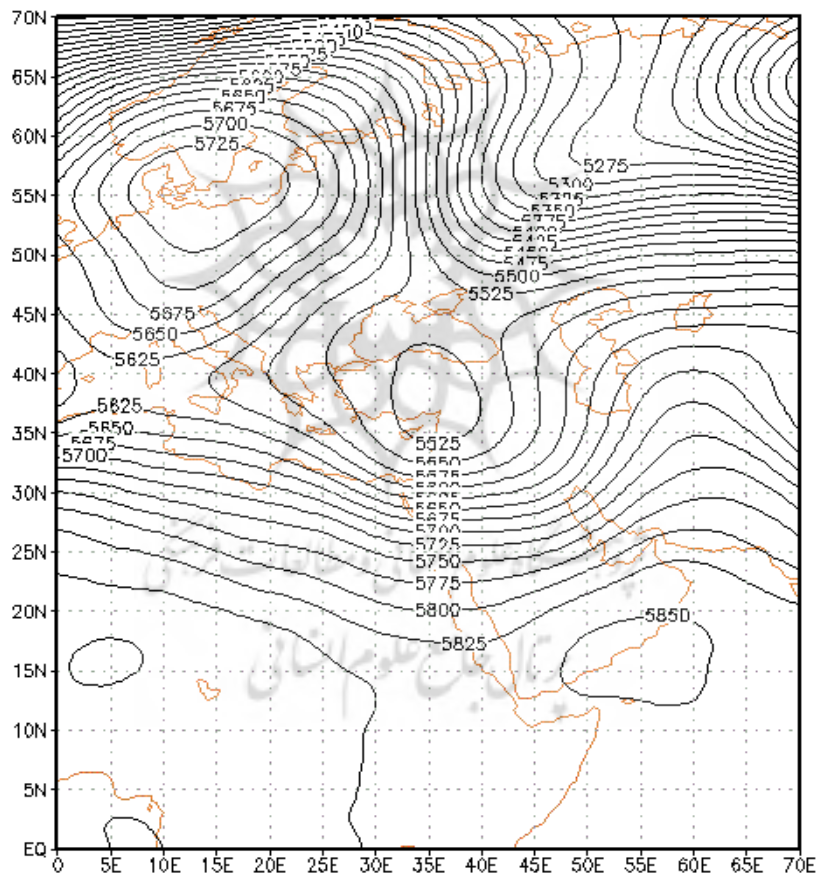
شناصایی الگوهای ریزش بارش‌های سنگین ... پیشروی کرده است (شکل ۱۱). در نقشه سطح زمین (شکل ۱۵) نیز پربند ۱۰۱۵ هکتوپاسکال کم‌فشار شمال دریای خزر و جنوب دریای سرخ روی ایران قرار دارد. اما در روز ششم پرفشار ضعیف (۱۰۲۵ هکتوپاسکال) روی ترکیه تشکیل می‌شود که پربند ۱۰۲۰ آن به بیشتر نواحی ایران به جز نوار شرقی گسترش یافته است. در همین روز کم‌فشار ۱۰۱۵ هکتوپاسکال بر روی دریای مدیترانه و کم‌فشار ۱۰۱۰ هکتوپاسکال در جنوب‌غرب دریای سرخ تشکیل می‌شود و کم‌فشار دیگری (۱۰۰۰ هکتوپاسکال) بر روی شمال دریای خزر شکل می‌گیرد. در روز هفتم ناوه عمیقی در شرق سامانه مانع تشکیل شده است. در نقشه سطح زمین روز هفتم تشکیل سامانه کم‌فشار ۱۰۱۰ هکتوپاسکال روی دریای مدیترانه قابل توجه است. بر روی جنوب دریای سرخ کم‌فشار ۱۰۱۵ هکتوپاسکال، و روی ایران نیز پرفشار ۱۰۳۰ هکتوپاسکال قرار گرفته است. با اینکه آرایش تراز ۵۰۰ هکتوپاسکال برای ایجاد بارش مناسب است، وجود این پرفشار در سطح زمین مانع ایجاد بارش در منطقه می‌شود که به خوبی می‌توان به نقش کم‌فشار سطح زمین در ایجاد ناپایداری پی‌برد. در روز هشتم، ناوه قوی‌تر شده و شبیه فشاری شدیدی در قسمت جلو ناوه که بر روی عربستان و غرب ایران قرار گرفته، ایجاد شده است. در نقشه سطح زمین نیز کم‌فشار دریای مدیترانه قوی‌تر شده و فشار مرکزی آن به ۹۹۵ هکتوپاسکال رسیده و به صورت چندین منحنی بسته درآمده و کم‌فشار جنوب دریای سرخ نیز به ۱۰۱۰ هکتوپاسکال رسیده است؛ اما بر روی ایران پربند ۱۰۲۰ این کم‌فشار گسترش یافته است.

در نهم دسامبر (شکل ۱۲) سردچال به‌سمت شرق حرکت کرده و شرایط مناسبی روی ایران تشکیل شده است. نقشه امگا سطح زمین در این روز (شکل ۲۱) هسته صعود را در غرب ایران نشان می‌دهد که مرکز این سلول نشان‌دهنده عدد ۰/۱ است. نقشه تاوایی تراز ۸۵۰ هکتوپاسکال (شکل ۲۲) نیز تاوایی سیکلونی با مرکز ۳-۳ را در غرب ایران نشان می‌دهد که کاملاً منطبق با محل تشکیل سیکلون در سطح زمین است. نقشه وزش رطوبتی (شکل ۱۸) نیز جریان رطوبت را از طریق خلیج عدن و دریای مدیترانه به‌سمت دریای سرخ و سرانجام به‌سمت خلیج فارس نشان می‌دهد. نقشه رودباد تراز ۳۰۰ هکتوپاسکال در روز نهم دسامبر (شکل ۱۹) تشکیل هسته رودباد با سرعت ۶۰ متر بر ثانیه بر شمال دریای سرخ

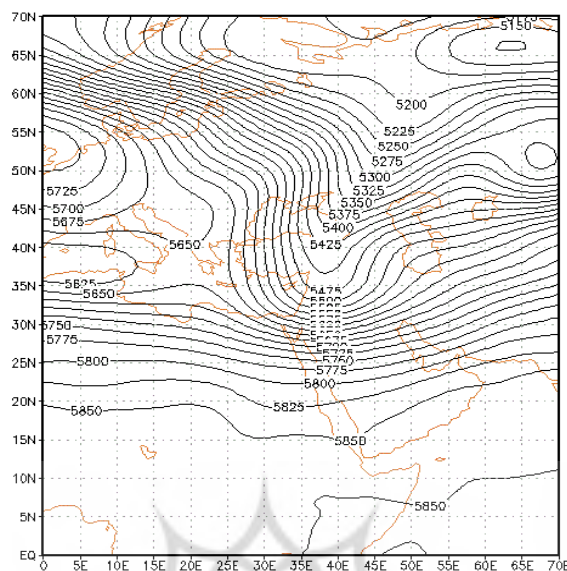
را نمایان می‌کند که محور این رودباد تا شمال غرب ایران کشیده شده است. در نقشه سطح زمین روز نهم دسامبر (شکل ۱۶) تغییر آشکاری صورت نگرفته است؛ ولی پریند ۱۰۱۵ هکتوپاسکال آن تا نواحی غربی ایران گسترش یافته است. در تفسیر شرایط ترمودینامیکی جو (نک شکل ۲۰) باید گفت شاخص شولتر و ki در این روز در ایستگاه اهواز در ساعت صفر به ترتیب $2/8$ و $29/1$ و در ساعت ۱۲ مقادیر $1/5$ و $35/7$ است که نشان‌دهنده ناپایداری شدید است. همچنین، نمودار ترمودینامیکی جو در روز نهم دسامبر در ایستگاه اصفهان وجود رطوبت مناسب را از سطح زمین تا سطوح فوقانی جو نشان می‌دهد. در روز دهم دسامبر بر روی نقشه تراز ۵۰۰ هکتوپاسکال همچنان شبی فشاری شدیدی در نواحی غربی ایران وجود دارد. در نقشه سطح زمین نیز کم فشار به سمت شمال شرق حرکت کرده و مرکز آن روی شرق دریای خزر قرار گرفته و پریند ۱۰۱۵ هکتوپاسکال آن به تمام نقاط ایران گسترش یافته است. بر روی شمال ایتالیا پرفشار 1040 هکتوپاسکال تشکیل شده است. نقشه امگا و تاوایی این روز نیز کاملاً منطبق بر کم فشار است و هسته صعود در نواحی مرکزی ایران و تاحدوی نواحی جنوب‌غربی ایجاد شده است؛ ولی تاوایی مثبت در شرق دریای خزر و نواحی شرقی ایران وجود دارد. نقشه وزش رطوبتی نیز همچنان جریان رطوبت را از طریق خلیج عدن و دریای سرخ و تاحدوی دریای مدیترانه به سمت منطقه نشان می‌دهد. در نقشه رودباد روز 10 دسامبر یک هسته سرعت 55 متر بر ثانیه روی نواحی غربی ایران تشکیل شده است. در روز یازدهم نقشه تراز 500 هکتوپاسکال تغییری نداشته است اما در نقشه سطح زمین گسترش زبانه 1020 هکتوپاسکال پرفشار اروپا به نواحی غربی و جنوب‌غرب ایران موجب شده تا بارش‌ها در این روز کاهش یابند. در روزهای بعد در نقشه تراز 500 هکتوپاسکال تغییرات زیادی مشاهده نمی‌شود (شکل ۱۳) و تنها نقشه سطح زمین در تغییرات بارشی تأثیرگذار است؛ به گونه‌ای که در روزهای دوازدهم و سیزدهم (شکل ۱۷) با نفوذ کم فشار 1015 هکتوپاسکال از روی عربستان به ایران، بارش‌هایی در منطقه ایجاد شده است؛ اما در روزهای چهاردهم و پانزدهم با نفوذ پرفشاری که روی دریای مدیترانه قرار دارد، بارش‌ها قطع شده‌اند. در روزهای ذکر شده نقشه امگا و تاوایی کاملاً با نقشه سطح زمین انطباق دارند.

جدول ۲ مقادیر بارش در ایستگاه‌های سینوپتیک استان در دوره بارشی ۱۵-۱ دسامبر ۱۹۹۱

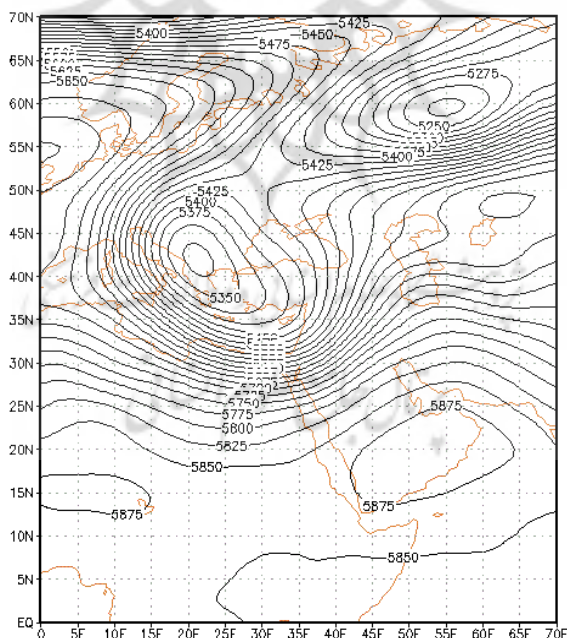
ایستگاه	روز	جمع													
		۱	۲	۳	۴	۵	۶	۷	۸	۹	۱۰	۱۱	۱۲	۱۳	۱۴
شهرکرد	۱۴/۷	۰	۶۰	۰	۴/۴	۲/۶	۲۸/۳	۷/۱	۲۲/۸	۱۹/۹	۰	۱/۶	۰	۰	۱۶۱/۴
کوهرنگ	۴۹/۱	۰	۷۸/۷	۱۸/۸	۰	۴/۶	۱۴/۶	۰	۱۴/۶	۴/۶	۰	۰	۰	۰	۴۶۲
لرگان	-	-	-	-	-	-	-	-	-	-	-	-	-	-	-
بروجن	۰	۰	۱۰/۳	۱۷/۷	۰	۰/۳	۰	۰	۱۷/۷	۱۰/۳	۰	۰	۰	۰	۱۱۳/۱
															۴۷



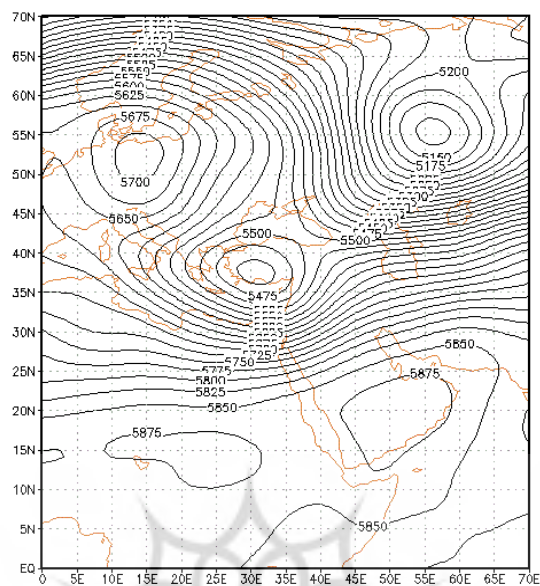
شکل ۱۰ نقشه سطح ۵۰۰ ساعت ۰۰UTC روز ۱ دسامبر ۱۹۹۱



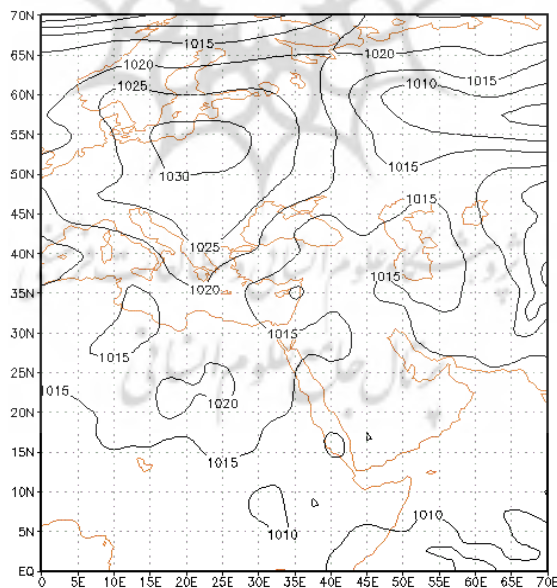
شكل ۱۱ نقشه سطح ۵۰۰ ساعت ۰۰UTC روز ۴ دسامبر ۱۹۹۱



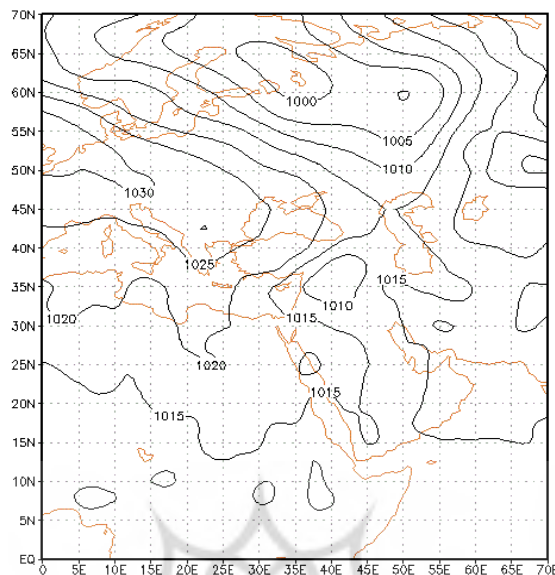
شكل ۱۲ نقشه سطح ۵۰۰ ساعت ۰۰UTC روز ۹ دسامبر ۱۹۹۱



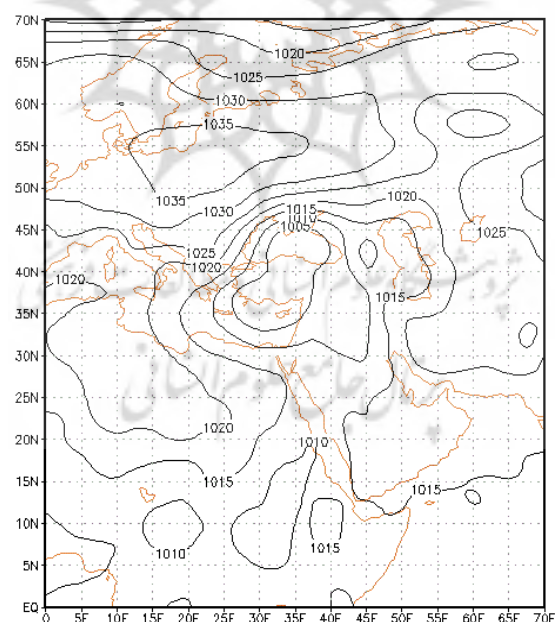
شكل ١٣ نقشة سطح ٥٠٠ روز ١٢ دسامبر ١٩٩١



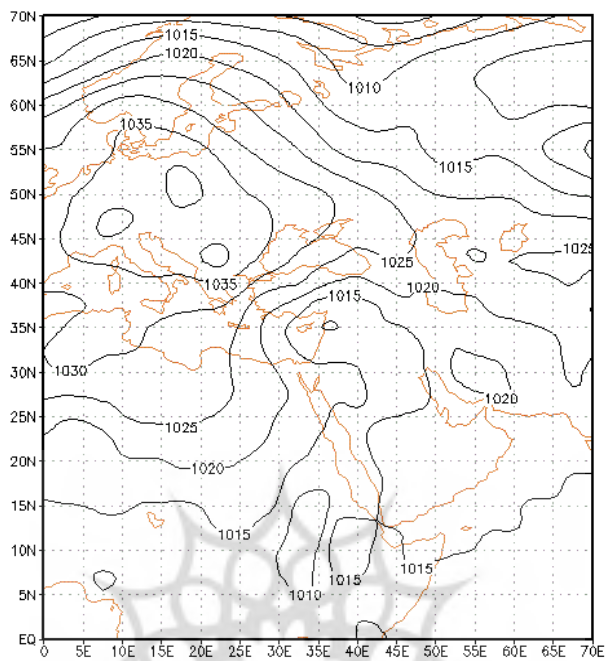
شکل ۱۴ نقشه سطح زمین روز ۱ دسامبر ۱۹۹۱



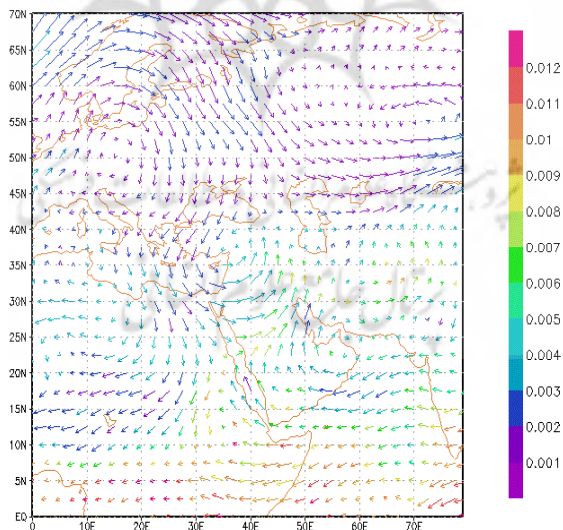
شکل ۱۵ نقشه سطح زمین روز ۴ دسامبر ۱۹۹۱



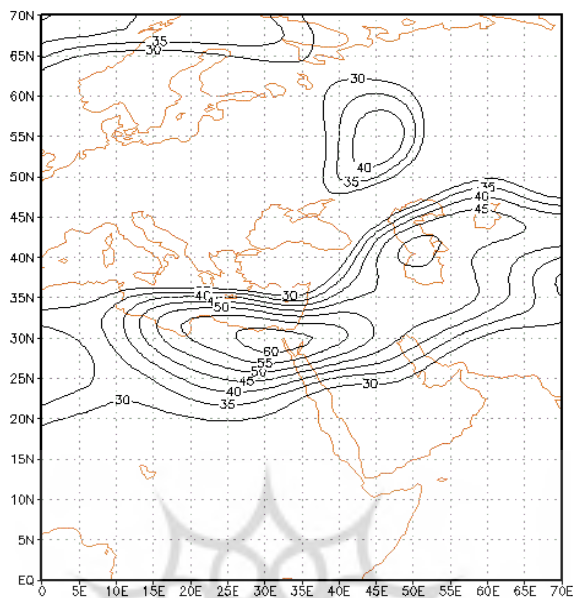
شکل ۱۶ نقشه سطح زمین روز ۹ دسامبر ۱۹۹۱



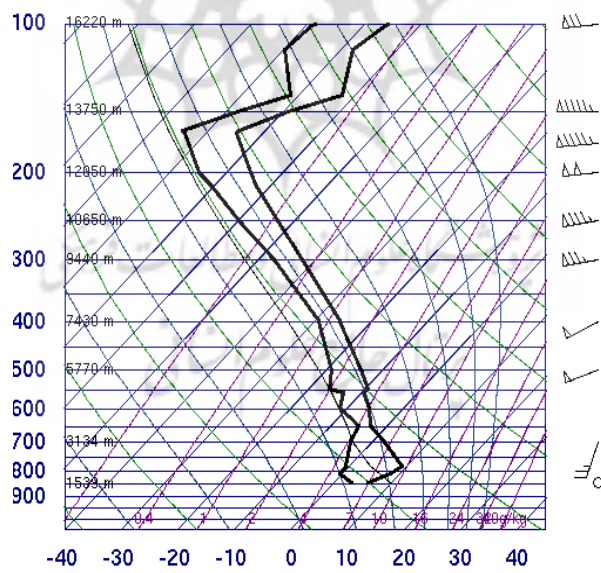
شکل ۱۷ نقشه سطح زمین روز ۱۲ دسامبر ۱۹۹۱



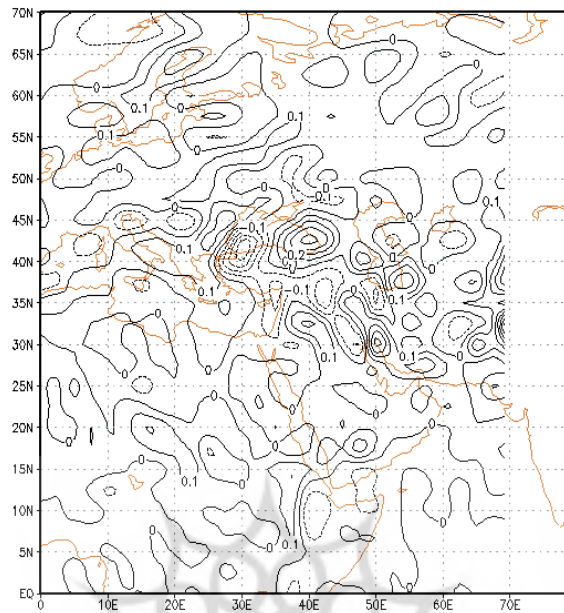
شکل ۱۸ نقشه وزش رطوبتی تراز ۸۵۰ روز ۹ دسامبر ۱۹۹۱



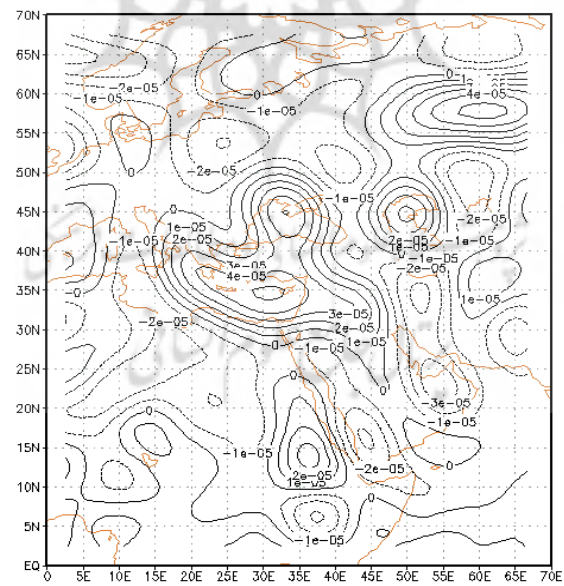
شکل ۱۹ نقشه رودپاد تراز ۳۰ دسامبر ۹ دسامبر ۱۹۹۱



شکل ۲۰ نمودار ترمودینامیکی روز ۹ دسامبر ۱۹۹۱



شکل ۲۱ نقشه امگا سطح زمین روز ۹ دسامبر ۱۹۹۱



شکل ۲۲ نقشه چرخدگی سطح روز ۸۵۰ دسامبر ۱۹۹۱

۴-۳- بررسی و تحلیل همدید بارش‌های استثنایی ۱ تا ۱۶ فوریه ۲۰۰۶

در روزهای مورد بحث آنچه در نقشه سطح ۵۰۰ هکتارپاسکالی درخور توجه است، وجود سامانه مانع در غرب ایتالیاست. در روز دوم فوریه (شکل ۲۳) این سامانه موجب شده تا در شرق آن بر روی دریای مدیترانه سلول کمارتفاگی تشکیل شود که امتداد آن به صورت ناوی تا شمال آفریقا کشیده شده است. در نقشه سطح زمین روز یکم فوریه (شکل ۲۷) کم فشار ۱۰۰۵ هکتارپاسکال روی دریای مدیترانه تشکیل شده که منحنی ۱۰۱۰ هکتارپاسکالی آن با کم فشار ۱۰۱۰ هکتارپاسکالی واقع در شمال شرق آفریقا ادغام شده است. در نقشه امگا سطح زمین نیز هسته صعود روی شبۀ جزیرۀ عربستان قرار گرفته است؛ اما بر روی ایران هسته نزول قرار دارد که با سیستم کم فشار سطح زمین کاملاً منطبق است. طی روزهای سوم تا ششم فوریه (شکل ۲۴) وجود سیستم مانع سبب شده است بر روی دریای مدیترانه به صورت پیاپی سردچال ایجاد شود. همچنین، در این مدت در نقشه سطح زمین گسترش کم فشار ۱۰۱۰ هکتارپاسکال تا نواحی جنوب غرب ایران (شکل ۲۸) باعث شده بارش‌هایی به صورت متناوب طی این روزها ایجاد شود. در روز هفتم فوریه از بین رفتار سامانه مانع سبب شده است سردچالی بر روی شمال آفریقا تشکیل شود. در این روز در نقشه سطح زمین دو سلول کم فشار ۱۰۱۰ هکتارپاسکال در روی دریای مدیترانه و دریای سرخ دیده می‌شود که منحنی ۱۰۱۵ هکتارپاسکال آن تا جنوب غرب ایران گسترش پیدا کرده است. همچنین، شاخص شولتر و Ki در ایستگاه اهواز به ترتیب برابر با $3/23$ و $29/3$ است که ناپایداری را نشان می‌دهد. نقشه امگا سطح زمین نیز وجود هسته صعودی را بر روی شبۀ جزیرۀ عربستان تا نواحی غربی ایران نشان می‌دهد. این هسته صعودی کاملاً بر منطقه تواویی مثبت سردچال منطبق است. نقشه وزش رطوبتی تراز ۸۵۰ هکتارپاسکال روز هفتم فوریه یک حرکت واچرخندی را بر روی جنوب عربستان نشان می‌دهد. این واچرخند باعث گردش هوا از روی خلیج عدن و جنوب دریای سرخ و رطوبت آن مناطق به سمت خلیج فارس و جنوب غرب ایران شده است. در نقشه تواویی روز هفتم فوریه، تواویی مثبت (سیکلونی) از جنوب دریای سرخ تا مرز جنوب غرب ایران دیده می‌شود که دقیقاً بر تواویی مثبت ناوه منطبق است. نقشه رودباد این روز هم گسترده‌گی هسته رودباد را از شمال آفریقا تا جنوب غرب ایران نشان



می دهد. مرکز این رودباد ۶۰ متر بر ثانیه سرعت دارد و در جنوب غرب ایران سرعت آن ۳۵ متر بر ثانیه است.

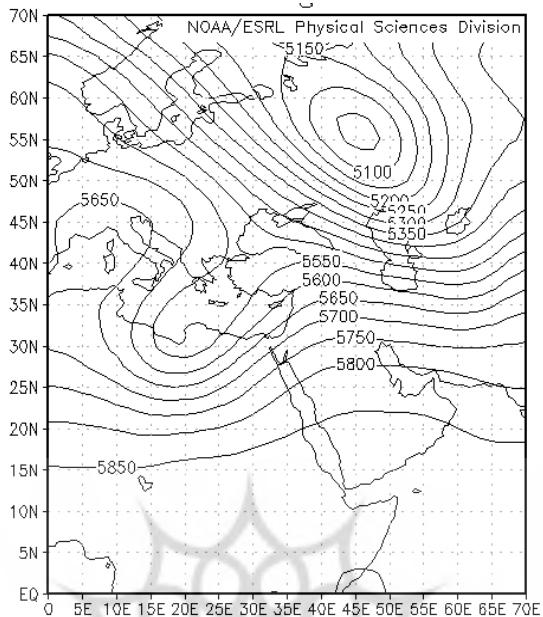
در روز هشتم فوریه ناوه ایجاد شده بر شمال آفریقا عمیق تر شده (شکل ۲۵) و بر روی دریای سرخ جریان های کژفشاری ایجاد کرده است. در نقشه سطح زمین روز هشتم فوریه (شکل ۲۹) دو سامانه کم فشار ۱۰۱۰ هکتوپاسکال با هم ادغام شده اند و فشار مرکزی آن بر دریای مدیترانه به ۱۰۰۵ هکتوپاسکال کاهش یافته و پربند ۱۰۱۵ هکتوپاسکال تا نواحی غربی ایران گسترش پیدا کرده است. وجود این کم فشار در شبہ جزیره عربستان و قرار گرفتن قسمت توایی مثبت سردچال در عربستان باعث انتقال جریان های گرم و مرتبط جنوبی به سمت منطقه می شود. همان طور که نقشه وزش رطوبتی این روز نشان می دهد (شکل ۳۱)، مسیر انتقال رطوبت به منطقه از طریق خلیج عدن، دریای سرخ و خلیج فارس به جنوب غرب ایران است که یک هسته رطوبتی مناسب (۸ گرم بر کیلوگرم) در جنوب غرب ایران را تشکیل می دهد. با توجه به نقشه امگا روز هشتم (شکل ۳۳) هسته صعود که روز قبل بر روی شبہ جزیره عربستان قرار داشت، در این روز به نواحی غربی ایران نیز گسترش یافته است. همچنین، نقشه توایی در این روز (شکل ۳۴) توایی مثبت (سیکلونی) را از دریای سرخ تا جنوب غرب ایران نشان می دهد. نقشه رودباد این روز (شکل ۳۵) تشکیل یک هسته رودباد با سرعت ۷۰ متر بر ثانیه است. در این روز می دهد که امتداد این رودباد تا شمال شرق ایران گسترش یافته است. در این روز شاخص های K_1 و شولتر در ایستگاه اهواز به ترتیب $25/8$ و $4/8$ است که شرایط ناپایداری در منطقه را نشان می دهد. در روز نهم فوریه که روز اوج بارش است، تمام شرایط ایدئال برای بارش در تمام سطوح ایجاد شده است. آنچه در این روز در نقشه تراز ۵۰۰ هکتوپاسکال در خور توجه است، تغییر شکل سامانه مانع به صورت زوجی بر روی دریای سیاه است (شکل ۲۶). این سامانه باعث گسترش ناوه تا دریای سرخ شده است. وجود هسته صعود در نواحی غربی و مرکزی ایران، تشکیل توایی مثبت روی این نواحی، قرار گرفتن هسته رودباد با سرعت ۶۰ متر بر ثانیه روی منطقه و تغذیه رطوبتی مناسب باعث شده تا در این روز بارش های مناسبی ریزش کند؛ به طوری که میزان بارش در ایستگاه کوهرنگ $112/4$ میلی متر است. شاخص های K_1 و شولتر در ساعت صفر در ایستگاه اهواز

در این روز به ترتیب ۲۶ و ۵/۳۹ است و نقشهٔ ترمودینامیکی جو (شکل ۲۲) نیز وجود رطوبت مناسب از سطح زمین تا سطوح فوقانی جو را به خوبی نشان می‌دهد. اما در نقشهٔ سطح زمین تشکیل دو سامانهٔ پرفشار ۱۰۲۰ هکتوپاسکالی یکی در شمال دریای خزر و دیگری در شمال آفریقا درخور توجه است. کم‌فارش ۱۰۰۵ هکتوپاسکال (شکل ۳۰) در غرب ایران قرار گرفته و پربند ۱۰۱۰ هکتوپاسکال آن تا سراسر نیمهٔ غربی گسترش یافته است.

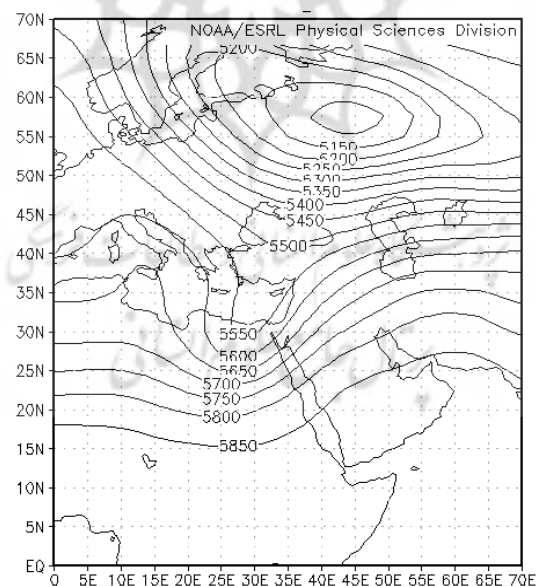
در روز دهم سردچال از بین رفته و ناوہ پشت سردچال درحال گسترش به عرض‌های پایین‌تر است. در این روز در نقشهٔ سطح زمین پرفشاری ضعیفی (۱۰۲۰ هکتوپاسکال) که روز قبل روی شمال آفریقا قرار داشت، تا نواحی غربی و جنوب‌غربی ایران گسترش یافته و به طور موقت بارش‌ها قطع شده است. همچنین، پرفشار ۱۰۲۵ هکتوپاسکال در شمال دریای خزر تشکیل شده است. در روز یازدهم با اینکه شرایط تراز ۵۰۰ هکتوپاسکال مناسب است؛ اما در نقشهٔ سطح زمین گسترش و ادغام پرفشار شمال دریای خزر و غرب ایران باعث شده تا بارش‌های کمی در این روز ریزش کند. در روزهای بعد در نقشهٔ تراز ۵۰۰ هکتوپاسکال عبور موج‌های ضعیفی از ناوہ و همچنین نفوذ دوباره کم‌فارش از غرب و جنوب‌غرب، باعث به وجود آمدن بارش‌هایی در این مدت شده که بیشتر آن‌ها در ایستگاه کوهرنگ است؛ تاثیر شرایط توپوگرافی منطقه نیز در این زمینه درخور توجه است. در این مدت نقشهٔ امگا هسته نزول هوا را بر منطقه نشان می‌دهد.

جدول ۳ مقادیر بارش در ایستگاه‌های سینوپتیک استان در دورهٔ بارشی ۱۶-۳ فوریه ۲۰۰۶

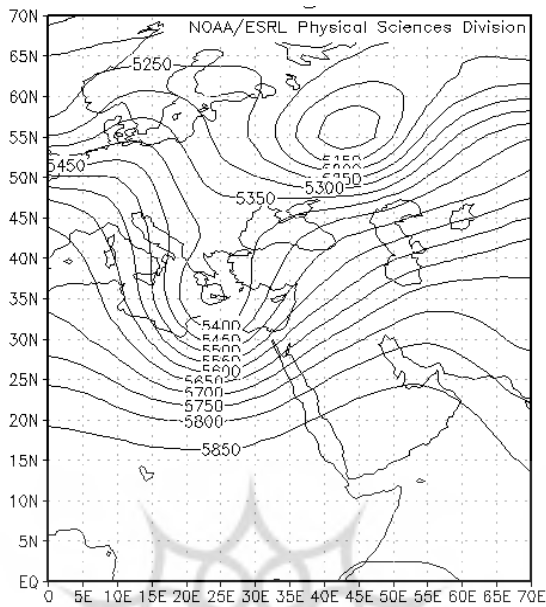
ایستگاه	روز	۳	۴	۵	۶	۷	۸	۹	۱۰	۱۱	۱۲	۱۳	۱۴	۱۵	۱۶	جمع	درصد به میانگین
شهرکرد	۱۹/۸	۰	۰	۰	۰	۰	۰	۰	۰	۰	۰	۰	۰	۰	۰	۱۳۴/۲	۴۲
کوهرنگ	۱۲/۱	۰	۰	۰	۰	۰	۰	۰	۰	۰	۰	۰	۰	۰	۰	۴۶۶/۲	۳۴
لدگان	۳۹/۱	۰	۰	۰	۰	۰	۰	۰	۰	۰	۰	۰	۰	۰	۰	۱۶۶/۹	۳۱
بروجن	۳/۷	۰	۰	۰	۰	۰	۰	۰	۰	۰	۰	۰	۰	۰	۰	۸۵/۳	۳۵



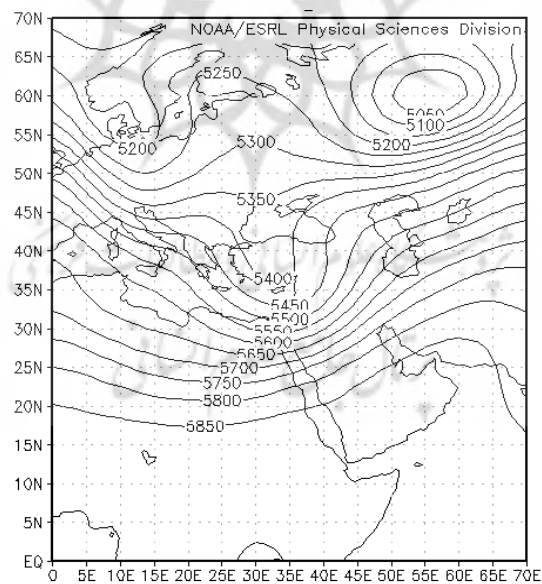
شكل ۲۳ نقشه سطح روز ۵۰۰ فوریه ۲۰۰۶



شكل ۲۴ نقشه سطح روز ۵۰۰ فوریه ۲۰۰۶



شکل ۲۵ نقشه سطح ۵۰۰ روز ۸ فوریه ۲۰۰۶



شکل ۲۶ نقشه سطح ۵۰۰ روز ۹ فوریه ۲۰۰۶

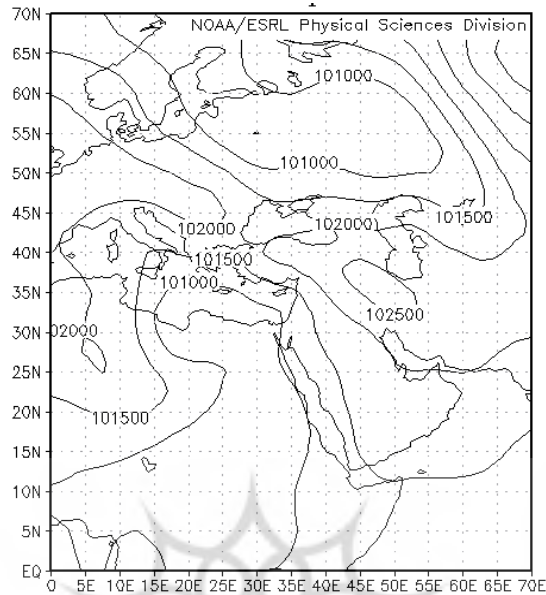


کمال

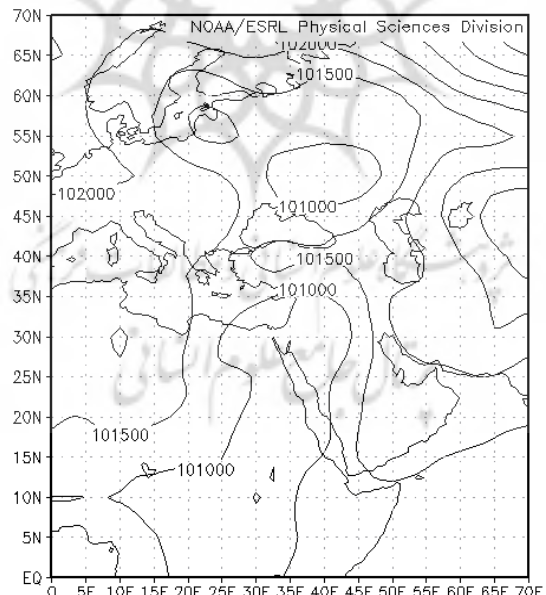
امیدوار

و همکار

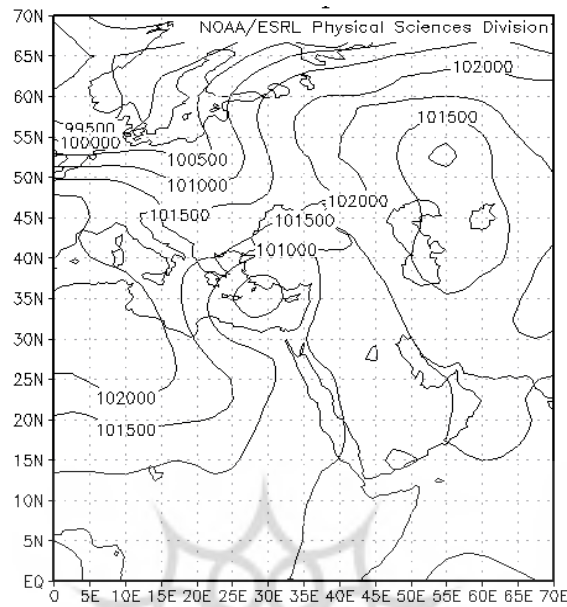
شناسایی الگوهای ریزش بارش‌های سنگین ...



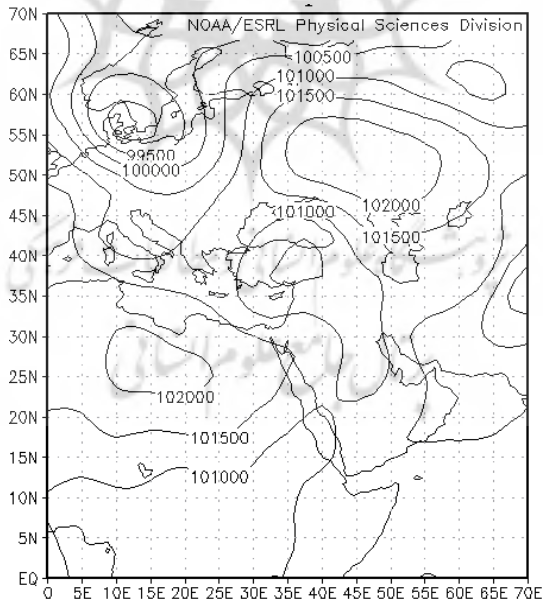
شکل ۲۷ نقشه سطح زمین روز ۲ فوریه ۲۰۰۶



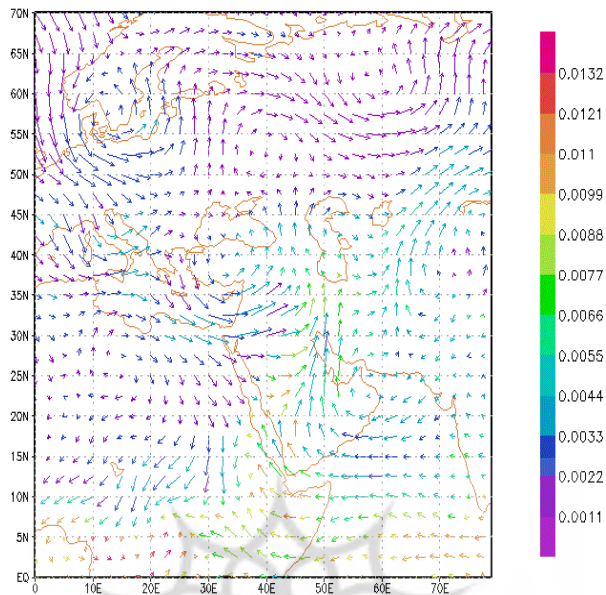
شکل ۲۸ نقشه سطح زمین روز ۳ فوریه ۲۰۰۶



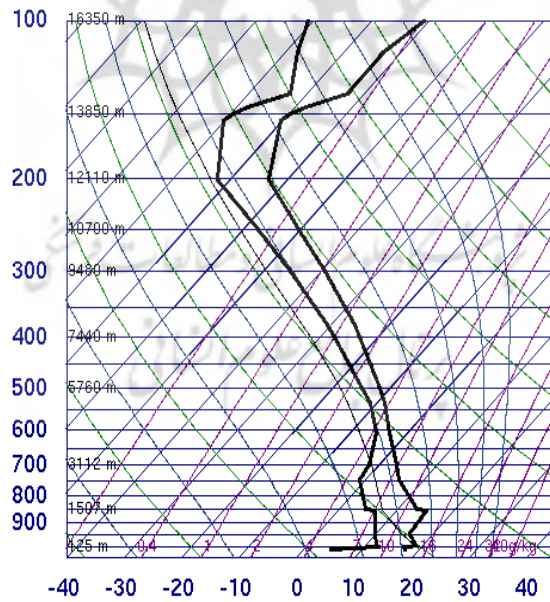
شکل ۲۹ نقشه سطح زمین روز ۸ فوریه ۲۰۰۶



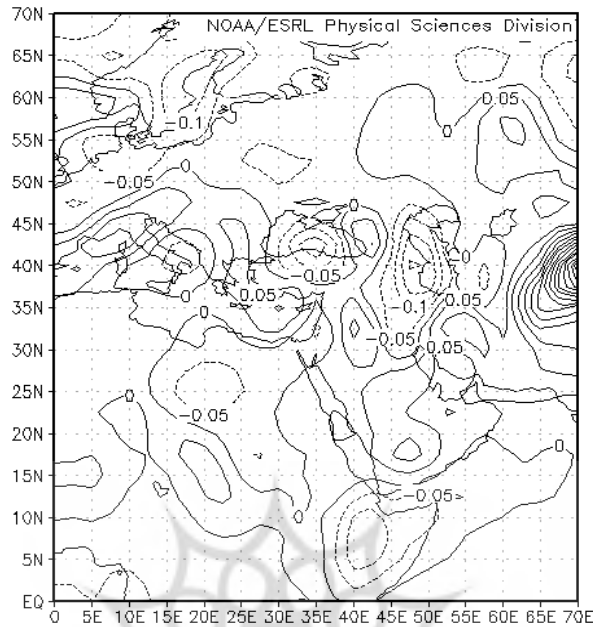
شکل ۳۰ نقشه سطح زمین روز ۹ فوریه ۲۰۰۶



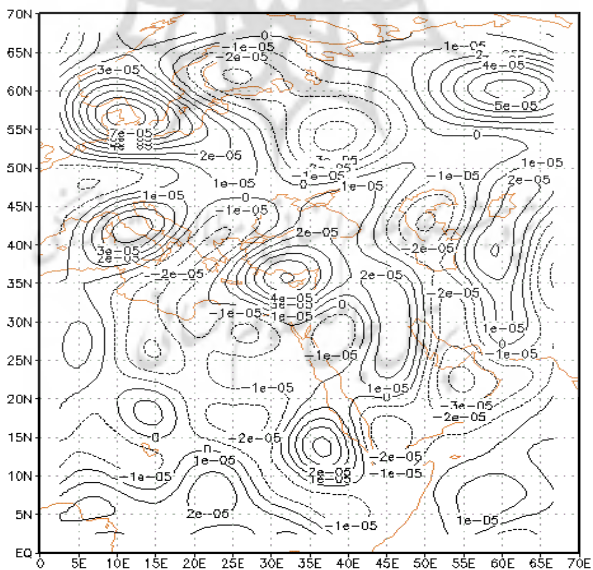
شکل ۳۱ نقشه وزش رطوبتی سطح روز ۸۵۰ فوریه ۹۰۶ ایستگاه اهواز



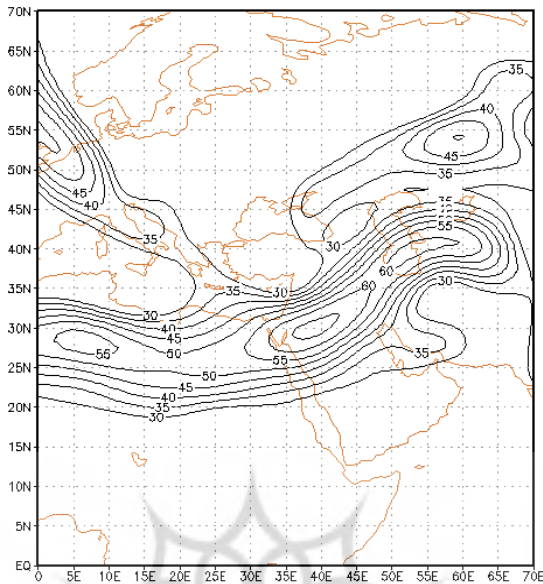
شکل ۳۲ نمودار ترمودینامیکی ساعت صفر روز ۹ فوریه ۹۰۶



شکل ۳۳ نقشه امگا سطح زمین در روز ۹ فوریه ۲۰۰۶



شکل ۳۴ نقشه چرخدگی سطح در روز ۹ فوریه ۲۰۰۶



شکل ۳۵ نقشه رودباد سطح در روز ۹ فوریه ۲۰۰۶

مطالعات انجام شده درباره بارش‌های سنگین جنوب‌غرب ایران به تأثیر کم‌فشار سودانی و ادغام آن با کم‌فشار مدیترانه اشاره دارند: لشکری (۱۳۷۵) می‌گوید بارش‌های سنگین و سیل‌آسا در جنوب‌غرب ایران نتیجه تقویت و تشدید فعالیت مرکز کم‌فشار مونسونی سودان و منطقه همگرایی دریای سرخ و تبدیل آن‌ها به سامانه دینامیکی و ترمودینامیکی است. اما در تحقیق حاضر علاوه بر تأیید این نتایج، روشن شد که با تشکیل سیستم مانع بر روی اروپا و ایجاد کم‌فشار بریده روی منطقه مورد مطالعه، بارش‌های چندروزه در منطقه اتفاق می‌افتد. در موقعي که قسمت PVA کم‌فشار بریده دقیقاً بر کم‌فشار سطح زمین منطبق باشد، هسته‌های صعود به خوبی ایجاد می‌شود و توازنی مناسبی هم پدید می‌آید. این عوامل باعث می‌شوند تغذیه رطوبتی مناسبی انجام شود و بارش‌های مناسبی در منطقه رخ دهد.

۵- نتیجه‌گیری

توقف چندروزه سیستم‌های بارانزا یکی از علت‌های مهم ایجاد بارش‌های سنگین در استان چهارمحال و بختیاری است. علت این توقف نیز تشکیل سامانه مانع در تراز ۵۰۰ هکتوپاسکال

بر روی اروپاست که سبب می‌شود در شرق این سیستم سردچال عمیقی تشکیل شود و با ریزش هوای سرد از عرض‌های بالاتر موجب فرارفت هوای گرم و مرطوب عرض‌های پایین می‌شود. این الگو در تمام دوره‌های انتخابی مشاهده شد.

سیستم‌های کم‌فشار سودانی و دریای سرخ که از جنوب‌غرب وارد ایران می‌شوند، با دریافت رطوبت مناسب از دریای سرخ، دریای عرب و خلیج فارس باعث ایجاد بارش‌های سنگین در منطقه می‌شوند. دوره‌های بارشی نوامبر ۱۹۸۶، دسامبر ۱۹۸۹ و ژانویه ۲۰۰۲ از این سیستم‌ها تشکیل شده‌اند.

ترکیب کم‌فشار سودانی با کم‌فشار مدیترانه‌ای باعث تقویت کم‌فشار سودانی می‌شود و به ایجاد بارش‌های سنگین در منطقه می‌انجامد. بارش‌های این سیستم‌ها سنگین‌تر هستند. دوره‌های بارشی دسامبر ۱۹۹۱، نوامبر ۱۹۹۴، دسامبر ۱۹۹۷، مارس ۲۰۰۵ و فوریه و نوامبر ۲۰۰۶ ناشی از این سامانه‌های ترکیبی‌اند.

در هر دوره بارشی هنگامی‌که کم‌فشار سطح زمین با قسمت تاوایی مثبت سردچال هماهنگی دارد، سایر شرایط از جمله هسته صعود، تاوایی مثبت و تغذیه رطوبتی مناسب نیز در شرایط مناسب قرار می‌گیرند و باعث ریزش‌های سنگین می‌شوند.

در ایستگاه‌های واقع در دامنه‌های زردکوه، حرکت توده‌های هوا روی شبکه‌های ارتفاعات باعث افزایش ناپایداری و شدت بارش در این مناطق می‌شود؛ به طوری که ایستگاه کوه‌رنگ در دوره بارشی مارس ۱۹۸۸ به میزان ۵۳۵/۵ میلی‌متر بارش داشته و در سایر دوره‌ها نیز بارش چشمگیری داشته است.

۶- منابع

- امیدوار، کمال، «بررسی سیلاب‌ها براساس موقعیت سیستم‌های همدید در استان یزد»، فصلنامه تحقیقات جغرافیایی، دانشگاه اصفهان، ش ۸۸ صص ۱۳۷-۱۳۸، ۱۵۷-۱۳۸۷.
- آب و هواشناسی دینامیک، یزد: انتشارات دانشگاه یزد، ۱۳۸۸.
- آب و هواشناسی همدیدی، یزد: انتشارات دانشگاه یزد، ۱۳۸۹.
- بابایی، ام‌السلمه و منوچهر فرج‌زاده، «شاخص‌های مکانی بارش و تغییرات آن در ایران» در سومین کنفرانس منطقه‌ای و اولین کنفرانس ملی تغییر اقلیم، اصفهان، ۱۳۸۲.



- جهان‌بخش اصل، سعید و حسن ذوالفقاری، «بررسی الگوهای سینوپتیک بارش‌های روزانه در غرب ایران»، فصلنامه تحقیقات جغرافیایی، ش، ۶۳، صص ۲۳۳-۲۵۸، ۱۳۸۱.
- حبیبی، فریده، «تحلیل همدیدی و دینامیکی سامانه‌های بندالی: روش تشخیص سامانه‌های بندالی و تأثیر آن روی ایران»، مجله فیزیک زمین و فضا، ش، ۳، صص ۶۹-۸۹، ۱۳۸۵.
- خوشحال دسجردی، جواد، تحلیل و ارائه مدل‌های سینوپتیک کلیماتولوژی برای بارش‌های بیش از ۱۰۰ میلی‌متر در سواحل جنوبی دریای خزر، رساله دکتری، دانشگاه تربیت مدرس، ۱۳۷۵.
- علیجانی، بهلول و مجید زاهدی، «تحلیل آماری و سینوپتیکی بارندگی آذربایجان»، فصلنامه تحقیقات جغرافیایی، ش، ۶۵، صص ۲۰۲-۲۱۷، ۱۳۸۱.
- علیجانی، بهلول، اقلیم‌شناسی سینوپتیک، تهران: سمت، ۱۳۸۱.
- قائemi، هوشنگ و محمود عدل، ناپایداری و توفان‌های رعد و برق، سازمان هواشناسی کشور، تهران، ۱۳۷۱.
- لشکری، حسن، «تکوین همگرایی دریای سرخ»، فصلنامه تحقیقات جغرافیایی، ش، ۵۸، صص ۱۶۷-۱۸۴، ۱۳۷۹.
- مفیدی، عباس و آذر زرین، «بررسی سینوپتیک تأثیر سامانه‌های کم‌فشار سودانی در وقوع بارش‌های سیل‌آسا در ایران»، فصلنامه تحقیقات جغرافیایی، ش، ۷۷، صص ۱۱۳-۱۳۶، ۱۳۸۴.
- نصیری، بهروز، «تحلیل الگوی سینوپتیکی و دینامیکی بارش‌های کرخه و دز»، فصلنامه تحقیقات جغرافیایی، ش، ۵۴، صص ۱۷۷-۱۸۵، ۱۳۷۸.
- Delden,V.A., "The Synoptic Setting of Thunderstorms in Western Europe", *Atmospheric Research*, Vol. 56. Pp. 89-110, 2001.
- Homar, V., M. Gaya & C. Ramis, "A Synoptic and Mesoscale Diagnosis of a Tornado Outbreak in the Balearic Islands", *Atmospheric Research*, Vol. 56, Pp. 31-55, 2001.
- Keables, M.J., "A Synoptic Climatology of Bimodal Precipitation Distribution in the Upper Midwest", *J. Climato*, Vol. 2, Pp. 1289-1294, 1989.

- Kodama, K.G. & M. Barnes, "Heavy Rain Events over the South-Facing Slopes of Hawaii: Attendant Conditions", *Weather and Forecasting*, Vol. 12, Pp. 347- 367, 1997.
- Maddox, H. & G. Chappell, "Comparison of Meteorological Aspect of the Big Thompson and Rapid City Flash Floods", *Monthly Weather Review*, March 1978.
- Robert, P., Harnack Donald, T. Jansen, Goseph, R. Cermak, "Investigation of upper-air Conditions Occurring with Heavy Summer Rain in Utah", *International Jornal of Climatology*, No. 18, Pp. 701-723, 1998.
- Robert, M., C. Faya & H. Ray, "Meteorological Characteristics of Flash Flood Events over Western United State", *Monthly Weather Review*, No. 108, 1980.
- Wang, X., Z. Panmao & W. Cuicui, "Variations in Extropical Cyclon Activity in Northern East Asia", *Journal of Atmospheric Sciences*, Vol. 26, No. 3, Pp. 471- 479, 2009.

پژوهشگاه علوم انسانی و مطالعات فرهنگی
پرستال جامع علوم انسانی